

آرایه شناسی مولکولی و تبارشناسی (*Rutilus* s. str. (Teleostei: Leuciscidae)

در حوضه جنوبی دریای خزر

آرش جولاده رودبار،^۱علی نزل آبادی،^۲مجید نوائیان^۳

چکیده

جنس *Rutilus* یکی از جنس‌های مهم خانواده کپورماهیان سرمهخروطی *Leuciscidae* است که اعضای آن از شرق سیبری تا غرب اروپا پراکنده شده‌اند. همواره شناسایی گونه‌ها و جمعیت‌های این جنس به دلیل شباهت‌های بالای ریختی و وجود جمعیت‌های حد واسط برای محققان مشکل‌ساز بوده است. اگر چه در مطالعات مختلف ویژگی‌های ریختی اعضای این جنس بررسی شده است اما آرایه‌شناسی مولکولی و تبارشناسی اعضای آن در جنوب دریای خزر مورد بررسی قرار نگرفته است. بنابراین به منظور بررسی وضعیت اعضای *Rutilus* در جنوب دریای خزر مطالعه‌ای با استفاده از توالی ژن سیتوکروم اکسیداز سی انجام شد. نمونه‌های اعضای این جنس از تور پره مناطق ساحلی شهرهای بندرترکمن، بندرگز، بابلسر، نور، رامسر، بندر انزلی و آستارا خریداری شد. پس از تکثیر ژن *COI*، قطعه مذکور توالی‌یابی شد. با استفاده از توالی‌های حاصله و دیگر توالی‌های موجود در بانک ژن NCBI درخت‌های تبارشناسی به روش *Bayesian inference* تخمین *Maximum likelihood* به نتایج بدست آمده و شبکه هاپلوتاپی ترسیم شد. با توجه به نتایج بدست آمده نمونه‌های تعیین توالی شده از حوضه جنوبی دریای خزر در خوشة *R. frisii* قرار گرفتند. همچنین حضور گونه‌های *R. rutilus* و *R. kutum* در مناطق مورد بررسی تأیید نشد. با توجه به عدم تفاوت معنی‌دار در ژن *COI* و تنوع فنوتیپی بسیار بالا به نظر می‌رسد این اختلاف ناشی از پلاستیسیتی اکولوژیک، تحمل درجات مختلفی از شوری، دارا بودن جمعیت‌های ساکن و مهاجر در بین اعضای این جنس باشد.

واژه‌های کلیدی: ایران، فاصله ژنتیکی، فنوتیپ، کپورماهیان، *COI*

۱. دانش‌آموخته دکتری، گروه شیلات، دانشکده کشاورزی و منابع طبیعی، دانشگاه تهران، کرج، ایران
(نویسنده مسئول: jouladehroudbar@ut.ac.ir)

۲. دانش‌آموخته کارشناسی ارشد، گروه شیلات، دانشکده کشاورزی و منابع طبیعی، دانشگاه تهران، کرج، ایران

۳. استادیار، گروه زیست‌شناسی، دانشکده علوم، دانشگاه آزاد اسلامی واحد بادگار امام (ره)، تهران، ایران

مقدمه

خانواده کپورماهیان سر مخروطی Leuciscidae با دارا بودن ۱۴ جنس و ۴۱ گونه معتبر در حدود ۱۵ درصد از فون ماهیان آب‌های داخلی ایران را تشکیل می‌دهد (Jouladeh-Roudbar *et al.*, 2015; 2020). جنس *Rutilus* یکی از جنس‌های اقتصادی این خانواده است که در حال حاضر دارای ۱۰ گونه معتبر بوده و اعضای آن در سراسر اوراسیا، در آب‌های شور، لب شور و شیرین یافت می‌شود (Eschmeyer *et al.*, 2018; Coad, 2018; Levin *et al.*, 2017). گستره جغرافیایی تحت اشغال این گونه از شرق سیبری شروع شده و تا غرب اروپا ادامه پیدا می‌کند (Kottelat & Freyhof, 2007; Ketmaier *et al.*, 2008; Levin *et al.*, 2017).

حدائق شش گونه از این جنس در حوضه‌های دریای سیاه-آзов، کاسپین، آرال و اقیانوس منجمد شمالی تو صیف شده است. اعتبار این گونه‌ها اغلب در مطالعات مختلف به چالش کشیده شده و مورد بحث بوده است (Reshetnikov *et al.*, 2003; Mina *et al.*, 2006; Kottelat & Freyhof, 2007; Coad, 2018; Jouladeh-Roudbar *et al.*, 2020). از طرفی دیگر ساختار جمعیتی گونه‌های پونتو-کاسپین کاملاً پیچیده بوده و اغلب آن‌ها دارای جمعیت‌های ساکن و یا رود کوج (anadromous) هستند که برای تخریزی به رودخانه‌های حوضه دریای سیاه، آзов، آرال و کاسپین وارد می‌شوند (Levin *et al.*, 2017). به طور سنتی جمعیت غیر مهاجر به عنوان *R. rutilus* شناخته شده است (Levin *et al.*, 2017; Coad, 2018). اخیراً مطالعات نسبتاً جامع و کاملی در ارتباط با فیلوجنی مولکولی و فایلوژئوگرافی این جنس در گستره زیستی آن صورت گرفته است که نتایج قابل تأملی از وضعیت آرایه‌شناسی اعضاً این جنس در اورا سیا ارائه می‌دهد (Ketmaier *et al.*, 2008; Levin *et al.*, 2017). بر اساس نتایج ارائه شده سه دودمان اصلی از جنس *Rutilus* شنا سایی شده است. ۱- دودمان *R. frisii* و ۲- گروه گونه‌هایی که در دریای آگنان، کاسپین، سیاه-آзов و آرال، آبهای داخلی آسیای مرکزی، رودخانه‌های سیبری و اقیانوس منجمد شمالی پراکنده شده‌اند. بر اساس نتایج بدست آمده از تعیین توالی ژن *Cytb* دسته سوم اختلاف ژنتیکی معنی‌داری وجود ندارد. بنابراین گونه‌های *R. r. caspius* از درجه اعتیار ساقط و مترادف *Rutilus rutilus schelkovnikovi* *R. r. aralensis* *stoumboudae* بر اساس مطالعات مختلف تاکنون تاکسون‌های (*Rutilus lacustris* (Pallas 1814), *Rutilus caspicus* (Yakovlev 1870), *R. r. caspius* و *R. r. caspius natio kurensis* Berg 1932, *Rutilus rutilus* (Linnaeus 1758), *kutum* Kamenskii, 1901, Bogutskaya & Naseka, 2004) از دریای کاسپین و رودخانه‌های منتهی به آن گزارش شده است (Kottelat & Freyhof, 2007; Coad 2018; Jouladeh-Roudbar *et al.*, 2020).

اغلب این تاکسون‌ها از لحاظ ریختی دارای ویژگی‌های متفاوتی هستند که باعث شده شناسایی و تفکیک آن‌ها با مشکل مواجه کند (Berg 1949; Abdolhay *et al.*, 2010; Kashefi *et al.*, 2012; Kohestan-Eskandari *et al.*, 2014). علی‌رغم اینکه جمعیت‌های این جنس در مطالعات مختلف از لحاظ ریختی برسی و مطالعه شده اند اما در مورد وضعیت آرایه‌شناسی آن‌ها در حوضه جنوبی دریای کاسپین مطالعه‌ای صورت نگرفته و مشخص نیست کدام تاکسون یا تاکسون‌های نامبرده شده معتبر بوده و در قسمت‌های جنوبی یافت می‌شوند. لذا این مطالعه به منظور بررسی وضعیت آرایه‌شناسی و تبارشناسی این جنس در جنوب دریای کاسپین برای روشن شدن وضعیت نمایندگان آن با استفاده از توالی ژن سیتوکروم اکسیداز سی هدف گذاری شد.

مواد و روش‌ها

نمونه‌برداری: برای انجام این تحقیق در خلال سال‌های سال ۱۳۹۷-۱۳۹۸ نمونه‌های بالغ با ویژگی ریختی متفاوت شامل تعداد فلس روی خط جانبی، شعاع باله پشتی، شعاع باله سینه‌ای، خار آبششی و رنگ بدن، از جنس *Rutilus* از مناطق ساحلی شهرهای بندرترکمن (۲ نمونه)، بندرگز (۲ نمونه)، بابلسر (۱ نمونه)، نور (۳ نمونه)، رامسر (۳ نمونه)، محمودآباد (۳ نمونه)، بندر انزلی (۳ نمونه) و آستارا (۳ نمونه) از صیادان تور پره خریداری شد (جدول ۱ و شکل ۱). قسمتی از باله سینه‌ای سمت راست بدن نمونه‌های خریداری شده در اتابول ۹۶ درصد تثبیت و جهت انجام مطالعات مولکولی به آزمایشگاه منتقل شد.

جدول ۱- ویژگی‌های ریختی نمونه‌های مورد مطالعه در هر ایستگاه

ردیف	محل صید	شعاع باله پشتی	شعاع باله سینه‌ای	فلس روی خط جانبی	خار آبششی	رنگ بدن
۱	بندرترکمن	۹	۱۴	۴۷		کرم
۲		۹	۱۹	۴۸		نقره‌ای
۳	بندرگز	۱۰	۱۵	۵۴		نقره‌ای-طلایی
۴		۹	۱۴	۵۱		نقره‌ای
۵	بابلسر	۸	۱۸	۴۹		نقره‌ای-طلایی
۶		۱۰	۱۹	۵۳		نقره‌ای-طلایی
۷	نور	۱۰	۱۷	۵۰		کرم
۸		۱۰	۱۴	۵۲		کرم
۹		۹	۱۵	۵۰		کرم
۱۰	رامسر	۹	۱۹	۴۹		کرم
۱۱		۸	۱۸	۵۳		نقره‌ای
۱۲		۱۰	۱۸	۵۸		نقره‌ای-طلایی
۱۳	محمودآباد	۹	۱۸	۴۸		کرم
۱۴		۹	۱۶	۵۸		نقره‌ای
۱۵		۹	۱۷	۴۶		کرم
۱۶	بندر انزلی	۱۰	۱۹	۵۴		کرم
۱۷		۹	۱۹	۵۵		نقره‌ای
۱۸		۸	۱۵	۵۴		نقره‌ای
۱۹	آستارا	۹	۱۴	۴۹		نقره‌ای-طلایی
۲۰		۱۰	۱۵	۴۹		نقره‌ای



شکل ۱- موقعیت جغرافیایی ایستگاه‌های نمونه برداری؛ ۱- بندر ترکمن، ۲- بندرگز، ۳- بابلسر، ۴- نور، ۵- رامسر، ۶- بندر انزلی و ۷- آستانه.

استخراج DNA: پس از تبخیر الکل از باله‌های ثبیت شده، قسمتی از باله، در آب قطره هموژن شد، سپس با استفاده از کیت شرکت BIO-RAD استخراج DNA انجام شد. برای اطمینان حاصل کردن از کیفیت و کمیت DNA های استخراجی از روش های اسپکتروفوتومتری و الکتروفورز افقی ژل آگارز ۷/۰ درصد به مدت ۴۵ دقیقه استفاده شد.

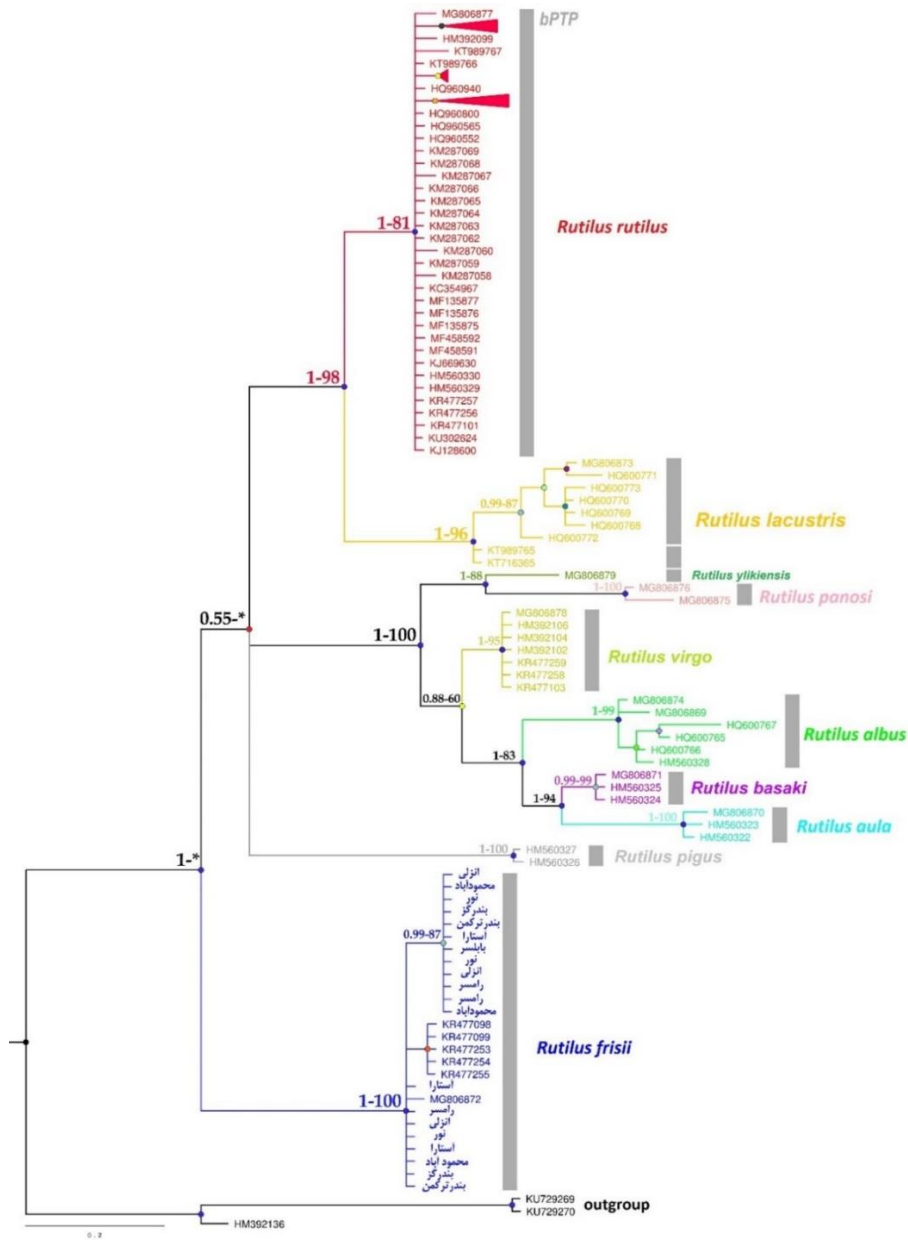
واکنش PCR: برای تکثیر ژن سیتوکروم اکس-بیداز سی میتوکندریال یا نمونه ها از آغازگر رفت -5'-FishF1-(5'-TAGACTTCTGGTGCCAAAGAACATTCAC-3') و برگشت ('-TCAACCAACCACAAAGACATTGGCAC-3') استفاده شد (Ward *et al.* 2005). حجم واکنش نهایی PCR در حجم ۵۰ میکرولیتر انجام شد که از مقدار شش میکرولیتر بافر ۱۰X، ۳ میکرولیتر منیزیم کلرید ($MgCl_2$)، دو میکرولیتر پرایمر رفت و دو میکرولیتر پرایمر برگشت (۱۰ پیکومول)، یک میکرولیتر dNTPs (10 mM)، ۶۰ میکرولیتر آنزیم تک پلیمراز (μ l) و ۲ میکرولیتر DNA الگو بودند. برنامه دمایی واکنش زنجیره‌ای پلیمراز به صورت اولیه در ۹۴ درجه سلسیوس برای پنج دقیقه، به دنبال آن سی و چهار چرخه (واسرشت سازی در ۹۴ درجه سلسیوس برای ۶۰ ثانیه، اتصال در ۵۷ درجه سلسیوس برای ۳۰ ثانیه، گسترش در ۷۲ درجه سلسیوس برای ۶۰ ثانیه) و در نهایت، گسترش نهایی در ۷۲ درجه سلسیوس به مدت ۱۰ دقیقه بود. برای اطمینان از تکثیر موفق ناحیه COI پنج میکرولیتر از محصول PCR همراه با Dye رنگ آمیزی روی ژل آگارز ۱ درصد بارگذاری و سپس الکتروفورز شد و در ادامه در معرض تابش نور U.V قرار داده شد.

توالی‌یابی: پس از حصول اطمینان از تکثیر موفق و بدون آلدگی قطعه مورد نظر ۲۵ میکرولیتر از محصول PCR تو سط کیت خالص سازی شرکت ماکروژن (MacroGen, Korea) خالص سازی و جهت توالی‌یابی به همان شرکت ارسال شد. قطعه تکثیر شده با استفاده از پرایمر FishR1 توالی‌یابی شدند.

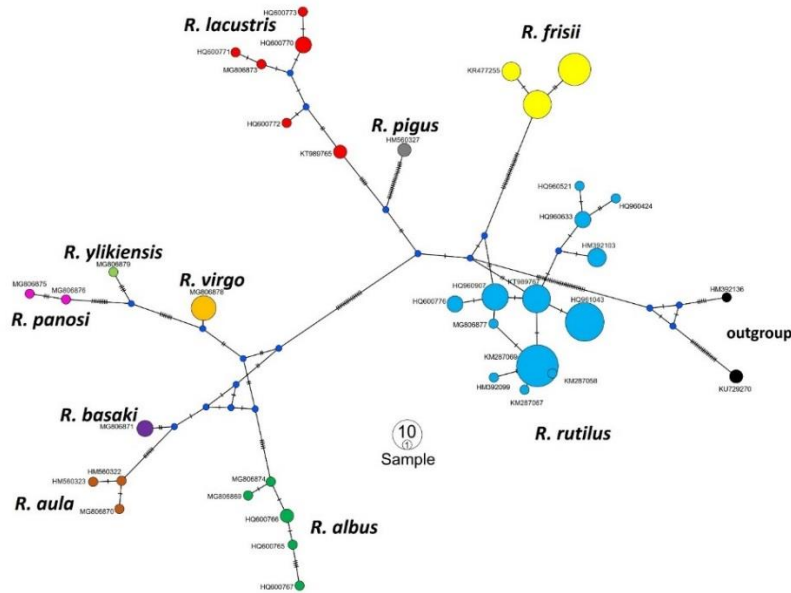
آنالیز داده‌ها: توالی‌ها با استفاده از نرم‌افزار Geneious Prime 2020 ویرایش شدند. عملیات یکپارچکی توالی‌های ژن COI با استفاده از ClustalW multiple alignment در نرم افزار BioEdit v. 7.2.5 انجام شد (Hall 1999). به منظور یافتن توالی‌های م شباهه جهت تر سیم درخت تبار شناسی، توالی ویرایش شده با استفاده از جستجوی BLAST در بانک جهانی NCBI با سایر توالی‌های این جنس مقایسه شدند. مدل تجزیه و تحلیل با استفاده از نرم افزار jModelTest انتخاب شد (Darriba *et al.* 2012) براساس نتیجه حاصله از این نرم‌افزار، مدل G+T92 برای تجزیه و تحلیل پیشنهاد شد. برای ترسیم درخت‌های تبار شناسی از روش Bayesian inference در نرم‌افزار MrBayes v. 3.2 (Huelsenbeck & Ronquist, 2001) و تکرار ۵ میلیون نسل و برای Maximum likelihood از نرم‌افزار RaxML GUI v. 2.0 (Silvestro & Michalak, 2012) استفاده شد. برای تعیین فاصله نوکلئوتیدی توالی‌های حاصله از روش K2P در نرم‌افزار MEGA v. 7.0 استفاده شد (Kumar *et al.* 2016). همچنین برای ترسیم درخت‌های بدست آمده نیز از نرم‌افزار FigTree v. 1.5 (Rambaut 2009) استفاده گردید. برای تجزیه و تحلیل مرزبندی گونه‌ای از روش bPTP و تعداد ۲۰۰ هزار نسل استفاده شد. برای ترسیم شبکه هاپلوتاپی نیز از نرم‌افزار PopART v. 1.7 استفاده شد. گونه Squalius cephalus نیز به عنوان بروون گروه در نظر گرفته شد.

نتایج

پس از دریافت نتایج تعیین توالی از شرکت ماکروژن و تصحیح آن‌ها، ۶۳۰ جفت باز از ۲۰ نمونه برای آنالیز بدست آمد. علاوه بر این ۱۱۲ توالی دیگر اعضای این جنس از بانک جهانی NCBI استخراج شد و با توالی‌های فوق هم‌ردیف شدند که در نتیجه از مجموع ۶۳۰ جفت باز، ۱۲۳ جایگاه دارای چند شکلی (پلی مورفیسم) و ۵۰۷ جایگاه ثابت و فاقد چند شکلی (منومورفیسم) بودند. همچنین از ۶۳۰ باز مورد بررسی ۱۰۸ جایگاه به عنوان Parsim-informative شناسایی شد. پس از ترسیم درخت‌های تبار شناسی Bayesian inference و Maximum likelihood مشخص گردید که دارای شکل مشابهی هستند. بنابراین درخت BI انتخاب، اعداد احتمال پسین (BI posterior probability) و بوت استرپ (ML bootstrap) حاصله پیش از هر گره درج گردید (شکل ۲). با توجه به نتایج حاصله از درخت‌های تبار شناسی، ۱۰ گونه R. albus R. virgo R. panosi R. ylikensis R. lacustiris R. rutilus R. frisii R. pigu R. aulai R. basaki در خوش‌های مجزا که با میزان بالای BI و ML قرار گرفتند. همچنین نتایج مرزبندی گونه‌ای bPTP نیز برای تمامی خوش‌های ذکر شده گونه واحد بود اما برای خوش R. lacustiris دو گونه پیش بینی شد. علاوه بر این نتایج تحلیل بازهای توالی‌های بررسی شده نشان داد ترکیب باز تیمین ۳۰/۲ درصد، آدنین ۲۴/۸ درصد، گوانین ۱۹/۵ درصد و سیتوزین ۲۵/۶ درصد است. همچنین فاصله ژنتیکی K2P بین گونه‌های گونه‌های جنس Rutilus مورد تجزیه و تحلیل در این مطالعه نشان داد که بیشترین میزان فاصله ژنتیکی به میزان ۳/۲۰ بین دو گونه R. panosi و R. albus و کمترین میزان فاصله ژنتیکی به مقدار ۰/۸۲ بین دو گونه R. aula و R. basaki است (جدول ۲). همچنین فاصله درون گونه‌ای برای R. lacustris به میزان ۰/۰۳ درصد، R. rutilus به میزان ۰/۱۶ درصد، R. panosi به میزان ۰/۲۷ درصد، R. albus به میزان ۰/۲۵ درصد، R. basaki به میزان ۰/۰ درصد، R. aulai به میزان ۰/۰۰ درصد محاسبه شد. شبکه هاپلوتاپی ترسیم شده نیز در شکل ۳ به نمایش درآمده است.



شکل ۲- درخت تبارشناسی ترسیم شده به روش Bayesian inference و Maximum likelihood شماره دسترسی نمونه های استفاده شده از بانک NCBI در مقابل خوشه ها درج شده است. شاخه هایی که در درخت ML وجود نداشتند با علامت * مشخص شده است. نتایج مرزبندی گونه ای bPTP نیز به نوار خاکستری رنگ به نمایش درآمده است.



شکل ۳- شبکه هاپلوتایپی ترسیم شده اعضای جنس *Rutilus* با استفاده از توالی‌های COI مورد بررسی در این مطالعه.



شکل ۴- نمای جانبی ماهی سفید دریای خزر *Rutilus frisii*. صید شده از سواحل مابین بابلسر و فریدونکنار



شکل ۵- نمای جانبی ماهی کلمه *Rutilus lacustris* صید شده از رودخانه ارس

جدول ۲- میانگین فاصله ژنتیکی K2P در بین گونه‌های مورد بررسی جنس *Rutilus* بر اساس درصد تفاوت در ژن COI.

ردیف	گونه	۱۰	۹	۸	۷	۶	۵	۴	۳	۲	۱
۱	<i>R. frisii</i>									۲/۲۸	
۲	<i>R. rutilus</i>								۲/۵۹	۲/۸۱	<i>R. ylikiensis</i>
۳								./۹۱	۲/۳۹	۲/۶۱	<i>R. virgo</i>
۴							۱/۶۳	۱/۲۴	۲/۶۹	۲/۸۵	<i>R. panosi</i>
۵							۲/۵۳	۱/۰۹	۱/۸۶	۲/۷۳	۳/۰۸
۶	<i>R. albus</i>										<i>R. lacustris</i>
۷							۲/۹۴	۲/۸۱	۲/۵۷	۲/۷۷	۱/۲۴
۸							۲/۷۸	۱/۰۸	۲/۲۲	۰/۹۲	۱/۴۹
۹	<i>R. basaki</i>						۰/۸۲	۲/۸۸	۱/۵۳	۲/۵۱	۱/۳۹
۱۰	<i>R. aula</i>									۲/۴۹	۲/۴۹
۱۱	برون گروه						۲/۰۸	۳/۱۸	۲/۴۵	۲/۲۰	۳/۰۰
		۴/۷۰	۴/۸۱	۴/۸۱	۴/۲۰	۴/۷۸	۴/۶۰	۴/۷۳	۴/۴۰	۴/۲۷	۴/۲۴

بحث و نتیجه گیری

همانطور که اشاره شد تاکنون تاکسون های (*Rutilus lacustris* (Pallas 1814) *Rutilus caspicus* (Yakovlev, 1870) *R. r. caspius* و *R. r. caspius natio kurensis* Berg, 1932 *Rutilus rutilus* (Linnaeus, 1758) *Rutilus kutum* Kamenskii, 1901 Bogutskaya & Naseka, 2004; Kottelat & Freyhof, 2007; *natio knipowitschi* Pravdin, 1927). با توجه به نتایج بدست آمده از ترسیم درخت های تبارشناسی ML و BI (Coad, 2018; Jouladeh-Roudbar *et al.*, 2020) مربوط به گونه‌ای K2P و همچنین میانگین فاصله ژنتیکی bPTP نشان داد جمعیت های ساکن حوضه جنوبی دریای خزر اختلاف معنی داری با یکدیگر ندارد (جدول ۲ و شکل ۲). گواه این مسئله فاصله درون جمعیتی بسیار اندک (۰/۰۳ درصد) در بین نمونه های بررسی شده است. با توجه به نتایج درخت های تبارشناسی ترسیم شده، اعتبار سه گونه *R. frisii* *R. rutilus* (شکل ۴)، *R. lacustris* (شکل ۵) و از حوضه دریای کاسپین به نظر قابل تأیید است. همچنین تمامی نمونه های تعیین توالی شده از حوضه جنوبی دریای خزر با ساپورت بالا در خوشة *R. frisii* قرار گرفته اند. علاوه بر این توالی هیچ یک از نمونه های مورد بررسی، حضور گونه *R. rutilus* را در مناطق نمونه برداری شده در حوضه جنوبی دریای خزر تایید نکرد. پیش از این نیز در مطالعه ای مشابه Levin (2017) و همکاران (2017) حضور گونه دیگر از جنس *Rutilus* را تأیید نکرده بودند.

همانطور که اشاره شد در مطالعات مختلف به تنوع ریختی بالای اعضای جنس *Rutilus* در حوضه جنوبی دریای خزر اشاره شده است (Abdolhay *et al.*, 2010; Kashefi *et al.*, 2012; Kohestan-Eskandari *et al.*, 2014). به نظر می رسد این تنوع فنوتیپی بسیار بالا نا شی از پلاستیسیتی اکولوژیک، تحمل درجات مختلفی از شوری است و دارا بودن جمعیت های ساکن و مهاجر باعث

ایجاد جمعیت‌های مختلف با ویژگی‌های متفاوت در بین اعضای جنس *Rutilus* در حوضه‌هایی مانند پونتو-کاسپین گردیده است (Reshetnikov *et al.*, 2003; Bogutskaya & Naseka, 2004; Mina *et al.*, 2006; Kottelat & Freyhof, 2007; Levin, 2017).

پس از بررسی نتایج این مطالعه و مقایسه آن با نتایج دیگر مطالعات ریخت سنجه جمعیت‌های جنس *Rutilus* این سوال به ذهن می‌رسد، که علت اختلاف زیاد در ویژگی‌های ریختی و عدم اختلاف در ژنوم میتوکندریای اعضای این جنس چیست؟ به نظر می‌رسد تغییرات فنوتیپی اعضای این جنس ممکن است در خلال مراحل تکامل لاروی در آب شیرین، لب شور و یا شور اتفاق بیافتد. به عنوان مثال در برخی مطالعات تغییرات سریع فنوتیپی در هنگام معرفی جمعیت ساکن آب شیرین به دریاچه‌های لب Kozhara & Mironovsky, 1995; Kozhara, 1997; Levin 2017) یکی از مواردی که به نظر می‌رسد به عنوان یکی از علل اصلی نمود تغییرات فنوتیپی در جمعیت‌های مهاجر و یا ساکن این جنس باشد فرآیند استخوان سازی درون غشایی (Intramembranous ossification) است. با توجه به اینکه محیط یونی آب شیرین و دریا با یکدیگر کاملاً متفاوت است به نظر می‌رسد ظرفیت معدنی شدن (mineralization) اندام‌های ماهیان می‌تواند تحت تاثیر این محیط قرار بگیرد. استخوانی شدن با دریافت مواد معدنی محیطی مقدمه تشكیل بسیاری از استخوان‌ها در بدن ماهیان است (Brighton & Hunt, 1991).

یکی دیگر از مواردی که می‌تواند توجیه کننده عدم وجود اختلاف ژنتیکی در ژن COI بین جمعیت‌های *Rutilus* باشد وجود منشأ اکولوژیک برای جمعیت‌های آن است (Levin *et al.*, 2017). با توجه به نتایج حاصله از تر سیم شبکه هاپلوتاپی دو گونه *R. frisii* و *R. rutilus* دارای تعداد نسبتاً بالای هاپلوتاپ بودند. به نظر می‌رسد وجود هاپلوتاپ‌های متفاوت ساکن دریای سیاه و کاسپین می‌تواند به علت قرار گرفتن جغرافیای پونتو-کاسپین به عنوان یک پناهگاه-پناهگاه (palaeorefugium) برای اعضای این جنس برای گذر از دوران یخ‌بندان و احتمالاً گسترش مجدد در پسا-یخ‌بندان باشد. در مطالعات متفاوتی از این منطقه به عنوان یک پناهگاه مهم برای جانداران اورا سیا در دوره‌های متفاوت یخ‌بندان یاد شده است (Bernatchez, 2001; Kotlik *et al.*, 2004; Levin *et al.*, 2009; Timoshkina *et al.*, 2009). از طرفی برخی گونه‌های این جنس (*R. virgo* و *R. basaki*) دارای تعداد اندکی هاپلوتاپ بودند. وجود تعداد کم هاپلوتاپ می‌تواند نشان دهنده کلونیزه شدن جمعیت فعلی به وسیله والدینی تحت تاثیر عواملی مانند اثر بنیانگذار (founder effect) باشد (Levin *et al.*, 2017).

در مجموع با توجه به نتایج حاصله از این مطالعه اختلاف معنی داری را در بین جمعیت‌های مورد بررسی در جنوب دریای کاسپین نشان نداد. بنابراین بر اساس تقدم در نام گذاری پیشنهاد می‌گردد گونه *R. frisii* به عنوان گونه معتبر در نظر گرفته شده و دیگر تاکسون‌های نامبرده شده به عنوان مترادف آن در نظر گرفته شوند. البته پیشنهاد فوق بر اساس نتایج تعیین توالی ژن میتوکندریای COI ارائه شد، بنابراین پیشنهاد می‌گردد برای بهتر مشخص شدن وضعیت آرایه شناختی اعضای این جنس از ژن‌های هسته‌ای نیز استفاده شود تا بتوان نتیجه‌گیری کامل‌تری ارائه نمود.

منابع

- Abdolhay, H.A. Khalijah, D.S. Pourkazemi, M. Shapor, S.S. Rezvani, S. Satar, M.K. and Hosseinzadeh Sahafi, H. (2010) Morphometrics studies of Mahisefid (*Rutilus frisii kutum*, Kamensky, 1901) from selected rivers in the southern Caspian Sea. Iranian Journal of Fisheries Sciences. 9: 1-18
- Berg, L.S. (1949) Freshwater fishes of the USSR and adjacent countries, 4th edition. Part 1. Akademia Nauk USSR, Moscow and Leningrad. 466 p.
- Bernatchez, L. (2001) The evolutionary history of brown trout (*Salmo trutta* L.) inferred from phylogeographic, nested clade, and mismatch analyses of mitochondrial DNA variation. Evolution. 55: 351–379.
- Bogutskaya, N.G. and Naseka, A.M. (2004) Catalogue of Agnathans and Fishes of Fresh and Brackish Waters of Russia with Comments on Nomenclature and Taxonomy. The Russian Academy of Sciences, Moscow.
- Brighton, C.T. and Hunt, R.M. (1991) Early histological and ultrastructural changes in medullary fracture callus. Journal of Bone and Joint Surgery. 73: 832-847.
- Coad, B.W. (2018) Freshwater Fishes of Iran Updated 2 May 2018. [Cited 2 May 2018]. Available from: www.briancoad.com.
- Culling, M.A. Janko, K. Boron, A. Vasil'ev, V.P. and Hewitt, G.M. (2006) European colonization by the spined loach (*Cobitis taenia*) from Ponto- Caspian refugia based on mitochondrial DNA variation. Molecular ecology. 15: 173-190.
- Darriba, D. Taboada, G.L. Doallo, R. and Posada, D. J. (2012) 2: More models, new heuristics and high-performance computing. Nature Methods. 9: 772.
- Eschmeyer, W.N. Fricke, and R. van der Laan, R. (2018) Catalog of Fishes: Genera, Species, References. <http://researcharchive.calacademy.org/research/ichthyology/catalog/fishcatmain.asp>. Catalog of Fishes electronic version. doi:10.11646/zootaxa.3882.1.1
- Hall, T. A. (1999) “BioEdit: a user-friendly biological sequence alignment editor and analysis program for Windows 95/98/NT”. Nucleic Acids Symposium Series. 41: 95-98.
- Hänfling, B. Dümpelmann, C. Bogutskaya, N.G Brandl, R. and Brändle, M. (2009) Shallow phylogeographic structuring of *Vimba vimba* across Europe suggests two distinct refugia during the last glaciation. Journal of Fish Biology. 75: 2269-2286.
- Huelsenbeck, J.P. and Ronquist, F. (2001) MRBAYES: Bayesian inference of phylogeny. Bioinformatics. 17: 754-755.
- Jouladeh-Roudbar, A. Vatandoust, S. Eagderi, S. Jafari-Kenari, and S., Mousavi-Sabet, H. (2015). Freshwater fishes of Iran; an updated checklist. Aquaculture, Aquarium, Conservation & Legislation. 8: 855-909
- Jouladeh-Roudbar, A. Ghanavi, H.R. and Doadrio, I. (2020) Ichthyofauna from Iranian freshwater: annotated checklist, diagnosis, taxonomy, distribution and conservation assessment, Zoological Studies. 59: 0d
- Kashefi, P. Bani, A. and Ebrahimi, E. (2012) Morphometric and meristic variations between non-reproductive and reproductive kutum females (*Rutilus frisii kutum*, Kamensky, 1901), in the southwest Caspian Sea. Italian journal of zoology. 79: 337-343.

- Ketmaier, V. Bianco, P.G. and Durand, J.D. (2008) Molecular systematics, phylogeny and biogeography of roaches (*Rutilus*, Teleostei, Cyprinidae). *Molecular Phylogenetics and Evolution*. 49: 362–367.
- Kohestan-Eskandari, S. Anvarifar, H. Mousavi-Sabet, H. Yousefi, M. and Khanzade, M. (2014) A morphology-based hypothesis for homeward migration success and population differentiation in the anadromous kutum *Rutilus kutum* (Pisces: Cyprinidae) along the southern Caspian Sea, Iran. *Folia Zoologica*. 63: 151-160.
- Kotlik, P. Markov, A. S. Choleva, L. Bogutskaya, N.G. Ekmekci, F.G. and Ivanova, P.P. (2008) Divergence with gene flow between Ponto- Caspian refugia in an anadromous cyprinid *Rutilus frisii* revealed by multiple gene phylogeography. *Molecular ecology*. 17: 1076-1088.
- Kottelat, M. and Freyhof, J. (2007) Handbook of European freshwater fishes. Publications Kottelat 646 p.
- Kozhara, A.V. (1997). Regular phenotypic changes accompanying osmotic adaptations in some cyprinids: micro vs macroevolution. *Zhurnal obshchey biologii*. 58: 17–26.
- Kozhara, A. V. and. Mironovsky, A. N. (1995). Selection for tolerance to the increased mineralization—a possible factor of intraspecific divergence in the bream (*Abramis brama* (L), Cypriniformes, Cyprinidae) from the Caspian Sea drainage. *Zhurnal Obshchey Biologii*. 56: 239–247.
- Kumar, S. Stecher, G. and Tamura, K. (2016) MEGA7: molecular evolutionary genetics analysis version 7.0 for bigger datasets. *Molecular biology and evolution*. 33: 1870-1874.
- Levin, B.A. Simonov, E.P. Ermakov, O.A. Levina, M.A. Interesova, E.A. Kovalchuk, O.M. Malinina, Y.A. Mamilov, N.S. Mustafayev, N.J. Pilin, D.V. Pozdeev, I.V. and Pozdeev, I.V. (2017) Phylogeny and phylogeography of the roaches, genus *Rutilus* (Cyprinidae), at the Eastern part of its range as inferred from mtDNA analysis. *Hydrobiologia*. 788: 33-46.
- Mina, M.V. Reshetnikov, Y.S. and Dgebuadze, Y.Y. (2006) Taxonomic novelties and problems for users. *Journal of Ichthyology*. 46: 476-480.
- Rambaut, A. (2009) FigTree v1.5. <http://tree.bio.ed.ac.uk/software/figtree>.
- Reshetnikov, Y.S. Popova, O.A. and Sokolov, L.I. (2003) Atlas of Russian Freshwater Fishes, Vol. 1. Nauka, Moscow.
- Silvestro, D. Michalak, I. (2012). raxmlGUI: a graphical front-end for RAxML. *Organisms Diversity and Evolution*. 12: 335-337.
- Timoshkina, N.N. Barmintseva, A.E. Usatov, A.V. and Mugue, N.S. (2009) Intraspecific genetic polymorphism of Russian sturgeon *Acipenser gueldenstaedtii*. *Russian Journal of Genetics*. 45: 1098-1106.
- Ward, R.D. Zemik, T.S. Innes, B.H. Last, P.R. and Hebert, P.D. (2005) DNA barcoding Australia's fish species. *Philosophical Transactions of the Royal Society B*. 360:1847–1857. doi:10.1098/rstb.2005.1716.

Molecular systematics and phylogeny of *Rutilus* s. str. (Teleostei: Leuciscidae) at the southern part of Caspian Sea

Received:2021.11.6

Accepted: 2022.2.7

Abstract

Rutilus is one of the most important genera of the Leuciscidae family, whose members are distributed from Eastern Siberia to Western Europe. Due to the similarity of morphologic characters and the existence of intermediate populations, it has always been difficult for researchers to identify the species and populations of this genus. Although several studies have been conducted based on morphological characters of members of this genus, the molecular systematics and phylogeny of *Rutilus* in the southern Caspian Sea have not been studied. A study was performed by using the COI gene sequence to investigate the status of *Rutilus* members in the southern Caspian Sea. Samples of members of this genus were purchased from the beaches of Bandar-e-Turkmen, Bandar-e-Gaz, Babolsar, Nour, Ramsar, Bandar-e-Anzali, and Astara. After amplifying the COI gene, the fragment was sequenced. Using the sequence results and other sequences in the NCBI gene bank, phylogeny trees were plotted by the Bayesian inference method, Maximum likelihood estimation, and haplotype network. The sequenced specimens from the southern basin of the Caspian Sea were placed in the *R. frisii* clade. Also, the presence of *R. rutilus* and *R. kutum* species in the studied areas was not confirmed. Due to the insignificant difference in COI gene and phenotypic diversity, it seems the differences are due to ecological plasticity, tolerance to salted waters coupled with degrees of salinity, and having resident and migratory populations among members of this genus.

Keywords: Carps, COI, Genetic distance, Phenotype, Iran

-
1. PhD student, Department of Fisheries, Faculty of Agriculture and Natural Resources, University of Tehran, Karaj, Iran
 2. Master's student, Department of Fisheries, Faculty of Agriculture and Natural Resources, University of Tehran, Karaj, Iran (*Corresponding Author: jouladehroudbar@ut.ac.ir)
 3. Assistant Professor, Department of Biology, Faculty of Science, Islamic Azad University, Yadgar Imam (RA), Tehran, Iran